

AL-Rafidain
University College

PISSN: (1681-6870); EISSN: (2790-2293)

مجلة كلية الرافدين الجامعية للعلومAvailable online at: <https://www.jrucs.iq>**JRUCS**Journal of AL-Rafidain
University College
for Sciences**استعمال نماذج السلسل الزمنية للتنبؤ باعداد مرضى الكلى في محافظة ديالى**

ايمان منعم اكرم	أ.م. بيداء اسماعيل عبد الوهاب baidaa_29@codec.uobaghdad.edu.iq
دائرة صحة ديالى، بغداد، العراق	قسم الاحصاء، كلية الادارة والاقتصاد، جامعة بغداد بغداد، العراق

معلومات البحث**تاریخ البحث:**

تاریخ تقديم البحث: 23/2/2024

تاریخ قبول البحث: 12/4/2024

تاریخ رفع البحث على الموقـع: 31/12/2024

الكلمات المفتاحية:

السلسلة الزمنية، النموذج ARIMA، بوكس جنكينز، امراض الكلى، دالة الارتباط الذاتي، التنبؤ

للمراسلة:

أ.م. بيداء اسماعيل عبد الوهاب

baidaa_29@codec.uobaghdad.edu.iqDOI: <https://doi.org/10.55562/jrucs.v56i1.17>**المستخلص**

تعتبر الزيادة في اعداد مرضى الكلى حول العالم وما تسببه هذه الظاهرة من خسائر بشريه ومادييه ومايترتها من اثار اجتماعيه ونفسيه تشمل فئات المجتمع كافه هو الدافع الرئيسي والهدف الاساسي الذي واجهنا لغرض القيام بهذا البحث لهذه الظاهرة واجراء التنبؤات عنها، كما ان موضوع السلسل الزمنية من المواضيع المهمة التي تتناول سلوك الظواهر وتفسيرها عبر اوقات زمنيه معينة وتمكن اهميه تحليـل السلسله الزمنـيه في الحصول على وصف دقيق للسلسلـه وتحـديد نـموذج منـاسب للـتنبـؤ واستـخدام النـتائج لأـعراض التخطيط المستقبـلي، ان الغـاية من تحـديد نـموذج منـاسب يـؤدي إلى تقـديرات نـستطيع من خـلالـها اجرـاء تـنبـؤات لمـعرفـة اـعداد مـرضى الكلـية الصـناعـية وـعدد مـرضى الكلـى في مـحافظـه ديـالـى لـفترـات قـادـمه ليـتسـنى لـلـقـائـمـين التـعرـف عـلـى الـاعدـاد المتـوقـعة في المـسـتقـبـل لـاخـدـ الـاحتـيـاطـات الـلاـزـمـه لـمـواجهـه هـذه الـظـاهـرـه وـوضـع السـبـيل لـمعـالـجـتها. تم اـخذ عـينـه من الاـشـخاص المصـابـين بأـمـراضـ الكلـى في السـلـسلـة الـاـولـى لـلـفترـة منـ كانـونـ الـاـولـ لـسـنه 2018 وـالـى تـمـوزـ لـسـنه 2022 وـكـذـاكـ عـينـه مـرضـيـ الكلـية الصـنـاعـية (اـشـخاص المصـابـين بالـفشلـ الكلـويـ) لـسلـسلـةـ الثـانـيـة لـنفسـ الفـترةـ الزـمنـية بـحـجم (55) وـهـما غـيرـ مـسـقـرـتـينـ وـفقـاـ لـقـيمـ عـمـالـاتـ الـارـتـبـاطـ الذـاتـيـ وـكـلاـ السـلـسلـتـينـ تـمـكـنـ اـتجـاهـ عـامـ تمـ اـخـذـ الفـرقـ الـاـولـ فيـ كـلاـ الـحـالـتـينـ لـجـعلـهـماـ مـسـقـرـتـينـ وـالـحـصـولـ عـلـىـ تـنبـؤـاتـ قـرـيبـهـ منـ الـقـيمـ الـحـقـيقـيـةـ ، وـانـ مـتـغـيرـ مـربعـ الزـمـنـ فيـ الـانـموـذـجـ التـرـبيـعـيـ لـسـلـسلـهـ اـمـراضـ الكلـىـ كانـ تـأـثـيرـهـ عـكـسـياـ لـانـ اـشارـتهـ سـالـيـهـ لـكـنـ تـأـثـيرـهـ طـيفـ لـاـخـفـاضـ قـيمـ الـمـعـلـمـةـ المـقـرـرـةـ، وـانـ انـموـذـجـ (ARIMA(3,1,3))ـ هوـ الـمـعـنـوـيـ الـوـحـيدـ وـالـأـفـضـلـ لـسـلـسلـةـ اـمـراضـ الكلـىـ يـمـكـنـ الـاـعـتمـادـ عـلـيـهـ فيـ اـجـراءـ التـنبـؤـاتـ بـاـعـدـ مـرضـيـ الكلـىـ، اـنـ اـفـضـلـ انـموـذـجـ لـسـلـسلـهـ الكلـيةـ الصـنـاعـيةـ هوـ انـموـذـجـ ARIMA(2,1,2)ـ منـ بـيـنـ النـمـاذـجـ الـمـعـنـوـيـةـ الـأـخـرـىـ يـمـكـنـ الـاـعـتمـادـ عـلـيـهـ فيـ اـجـراءـ التـنبـؤـاتـ بـاـعـدـ مـرضـيـ الكلـيةـ الصـنـاعـيةـ فيـ مـحـافـظـهـ دـيـالـىـ.

1. المقدمة

تعد الكلـىـ منـ الـاعـضـاءـ الـمـهـمـةـ فيـ جـسـمـ الـاـنـسـانـ لـاـسـتـمـارـاـرـيـهـ حـيـاتهـ ، وـانـ اـهـمـيـهـ الكلـىـ تـمـكـنـ فيـ اـنـهاـ العـضـوـ الـذـيـ يـقـومـ بـتـصـفـيـةـ وـتـقـيـيـهـ الـدـمـ منـ السـوـمـ النـاتـجـةـ عـنـ التـمـثـيلـ الـغـذـائـيـ ، وـكـذـاكـ تـقـومـ بـوـظـيـفـهـ التـحـكـمـ فيـ كـمـيـهـ السـوـائلـ فيـ الـجـسـمـ، وـانـ الـاـمـراضـ الـتـيـ تـصـبـ هـذـاـ الـعـضـوـ هـيـ عـبـارـةـ عـنـ اـضـطـرـابـاتـ توـثـرـ فيـ الـوـحدـاتـ الـكـلـوـيـةـ وـالـتـيـ تـؤـديـ عـلـىـ فـقـدانـ الـكـلـيـةـ الـقـدرـةـ عـلـىـ التـخـلـصـ مـنـ الـفـضـلـاتـ وـالـسـوـائلـ مـسـبـبـهـ تـرـاـكـهـاـ فـيـ الـجـسـمـ، وـانـ التـأخـيرـ فيـ عـلـاجـ الـاـمـراضـ الـتـيـ تـصـبـيـهـاـ يـؤـديـ عـلـىـ فـقـدانـ وـظـيـفـهـاـ الـفـسـلـجـيـةـ، وـقـدـ يـرـجـعـ سـبـبـ ذلكـ هـوـ اـهـمـالـ الـاـهـتمـامـ بـالـكـلـىـ نـتـيـجـةـ اـنـ اـمـراضـ الكلـىـ اـغـلـبـهـاـ لـاـ تـؤـديـ عـلـىـ ظـهـورـ اـيـةـ اـعـراضـ ، وـانـ نـسـبـهـ الـاـصـابـةـ عـنـ الشـبابـ بـاـمـراضـ الكلـىـ الـمـزـمـنةـ تـصـلـ عـلـىـ 1ـ مـنـ كـلـ 50ـ شـخـصـ وـانـ هـذـهـ النـسـيـةـ تـرـزـدـادـ فـيـ الـاـعـمـارـ فـوـقـ 75ـ سـنـهـ حـتـىـ تـصـلـ عـلـىـ 1ـ مـنـ كـلـ 10ـ شـخـصـ وـهـذـاـ سـبـبـ الشـيـخـوخـةـ الطـبـيـعـيـةـ لـلـكـلـىـ وـتـشـمـلـ اـمـراضـ الكلـىـ (الـعـيـوبـ الـخـلـقـيـةـ الـوـلـادـيـةـ، حـصـةـ الكلـىـ، التـهـابـ حـوـضـ الـكـلـىـ وـالـمـسـالـكـ الـبـولـيـةـ، عـجزـ الكلـىـ الـحـادـ وـالـمـزـمـنـ، الفـشـلـ الكلـويـ، اـورـامـ الكلـىـ، الـحـوـادـثـ وـالـاصـابـاتـ). وـمـنـ جـانـبـ ثـانـيـ

يعتبر موضوع التنبؤ المستقبلي لفتره قادمه من الموضوعات الاساسيه التي تمكن صانعي القرار من اتخاذ القرارت السديده في المجالات الصحية والخدمية وغيرها، وهناك نوعين رئيسيين من اساليب التنبؤ هما : الاساليب المنظمة والاساليب غير المنظمة، فالاساليب المنظمة تعتمد على طائق علميه ولا يوجد تاثير للعامل الشخصيه في عمليه التقدير لذا فهي خالية من التحيز، في حين ان الاسلوب غير المنظم فيعتمد على الخبره الشخصية والاجتهاد والتجربة، و تعد السلسله الزمنيه من اهم الاساليب المنظمه التي تستخدم في التنبؤ بالاحداث المستقبليه اعتمادا على قيم الظاهرة في فترات ماضيه، وان الجانب الصحي يعد ذو اهميه كبيره لانه يهتم في حياة الانسان والتخلص من كافة الامراض لاسفاما امراض الكلى التي تعد من الامراض ذات الكلف الباهضه والمميتة في مرحل متقدمه منه اذا ما اهملت خطيه علاجه في مرحله الاوليه لها فقد اهتمت هذه الدراسة بهذا النوع من الامراض بالاعتماد على الاعداد الشهريه للاشخاص المصابين بهذه الامراض في محافظة ديرالزور (كانون الثاني 2018- تموز 2022) لغرض بناء نموذج تنبؤ لاعداد المصابين بامراض الكلى والكليه الصناعية لفتره القادمه وتقديمها للجهات المختصه لغرض اتخاذ الاجراءات اللازمه للوقايه من هذه الامراض واستيعابها . ومن البحوث التي تناولت الموضوع هي الطائي [2] والعاني [3] وشيرين و عباس [4]، ان الهدف الرئيسي للبحث بصورة عامه هو دراسه وتحليل اعداد المرضى الذين يعانون من امراض الكلى والفشل الكلوي (الكليه الصناعيه) كسلسله زمنيه وذلك من اجل اختيار افضل انموذج يساهم في التنبؤ على المدى القريب من بين نماذج الاتجاه العام وبوكس جنكينز لسلسه مراجعه امراض الكلى، واختيار افضل انموذج يساهم في التنبؤ على المدى القريب من بين نماذج الاتجاه العام وبوكس جنكينز لسلسله اعداد مرضى الكلة الفشل الكلوي (الكليه الصناعيه).

2. السلسلة الزمنية [1]

السلسلة الزمنية هي عبارة عن قيم ظاهره من الظواهر بتواتر متألقة (ايام، اشهر، سنوات) او هي مجموعة مشاهدات كمية لمتغير واحد او مجموعة من المتغيرات مرتبة على شكل تسلسل زمني معين و هذه المشاهدات عادة ما تكون غير مستقلة اي يعتمد بعضها على بعض وفي الغالب تكون على فترات زمنية متساوية (سنوية ،نصف سنوية، فصلية، شهرية، أسبوعيه، يوميه، ساعه ... الخ)، هناك انماذج يوضحان العلاقة بين مكونات السلسله:

1) الانموذج التجمعي Additive model

ان الانموذج التجمعي يعبر عن قيمة السلسله Y_t كمحصلة جمع للمكونات الرئيسية الاربعه للسلسله هي : الاتجاه العام، التغيرات الموسمية، التغيرات الدورية ،التغيرات العرضيه. ان الانموذج يفترض بان هذه العوامل الاربعه مستقلة عن بعضها البعض وهي حالة نادره في ظروف الحياة الطبيعية، حيث ان اي تغير في احد العوامل الاربعه له تاثير على باقي العوامل الأخرى في السلسله الزمنيه وهذا ينافض شرط الاستقلاليه ويمكن التعبير عنه بالمعادله التالية:

$$Y_t = T_t + S_t + C_t + I_t \quad (1)$$

Y_t : تمثل الظاهرة المراد دراستها والتنبؤ بها، T : تمثل الاتجاه العام للسلسلة الزمنية

S : تمثل التغيرات الموسمية (الفصلية)، C : تمثل التغيرات الدورية، I : تمثل التغيرات العشوائية

2) الانموذج الضريبي Multiplicative Model

ان الانموذج الضريبي يعبر عن قيمة السلسله Y_t اذ يفترض هذا الانموذج ان العوامل الاربعه ليست مستقله وان اي تغير في هذه العوامل يمكن ان يؤثر على باقي العوامل الاخرى ويمكن التعبير عنه بالمعادله الآتية:

$$Y_t = T_t * S_t * C_t * I_t \quad (2)$$

3. طائق تقدير مركبات السلسلة الزمنية [5]

1) تقدير الاتجاه العام: Estimating the general trend

توجد عدة طائق لتقدير الاتجاه العام لمختلف الظواهر وتخالف كل طريقه منها عن الاخرى من حيث طبيعتها ومدى دقتها ومدى سهوله استخدامها في التنبؤ منها.

أ. طريقه التمهيد باليد [9]: Smoothing method by hand:

وهي تعتمد على التمثيل البياني للظاهرة وتعتبر طريقه غير دققه لانها تعتمد على التقدير الشخصي للباحث ويمكن الحصول على الاتجاه العام من خلال رسم خط مستقيم او منحنى لحركه السلسله خلال فتره زمنيه طويله نسبيا وهذا الخط يمثل اتجاه عام يتغير بمعدل ثابت

ب. طريقه المتوسطات المتحركة [5][8]: Moving Averages Method

يمكن تعريفه بأنه الوسط الحسابي لعدد من المشاهدات المتعاقبه في ظاهره ما بطول معين، يتم حسابه لمجموعه من عنصرين او ثلاثة اوكثر في المجموعه الواحده ويفضل اختيار عدد فردي لعناصر مجموعه المتوسط المتحرك من اجل الحصول على متوسطات متحركة مركزيه، وتعتبر من اكثرب الطرق دقه حيث يتم استخدامها في تمهد السلسله الزمنيه وبالتالي تمهد خط الاتجاه العام وذلك من خلال جعل السلسله خالية من التقلبات الشديده قصيره الامد التي تعاني منها السلسله، وعند استخدام هذه الطريقه لابد من ملاحظه انه كلما كان عدد عناصر المتوسط المتحرك كبير اصبحت السلسله الزمنيه اكثرب نعومه لكنه يودي الى فقدان بعض قيم هذه السلسله.

ت. طريقة متوسطي نصفي السلسلة [9][5] : The average method of the two halves of the series

في هذه الطريقة يتم تقسيم السلسلة الى نصفين ويفضل ان يكونا متساوين وفي حالة السنوات الفردية يمكن اهمال السنة الوسطية بجعلها مساوية للصفر او استبعاد سنه في اول او اخر السلسله ثم يتم ايجاد الوسط الحسابي للقيم في كل نصف بشكل مستقل عن الاخر فنحصل على قيمتين للمتوسط توضع كل قيمه مقابل السنة الوسطى في كلا النصفين واذا كان عدد السنوات في كل نصف زوجيا يكون موقع الوسط الحسابي في منتصف السنين الوسطيتين لكل نصف وهي من الطرق السهلة والبساطه التي لا تحتاج الى مجهد كبير.

ث. طريقة المرءات الصغرى [5] : Least Squares Method

تعد هذه الطريقة من افضل الطرق التي يتم فيها تحديد معادله الاتجاه العام لانها تقوم على اساس ان يكون مجموع مربع انحراف القيم اقل ما يمكن ومن هنا تمت تسميتها على هذا الاسم، اذ تفترض وجود علاقه خطيه بين المتغير المستقل وهو الزمن (T) وقيمه الظاهره (Y) التي تمثل المتغير التابع وبهذا يمكن كتابه معادله الاتجاه العام بالشكل التالي:

$$\hat{y}_t = b_0 + b_1 t \quad (3)$$

2) نماذج بوكس جنكينز [7][3] : Box – Jenkins models

هي احدي طرائق التنبؤ اقترحها العالمان بوكس و جنكينز سنة 1970 التي يمكن الاعتماد عليها في تحليل السلسله الزمنيه ويمكن تمثيل هذا الاسلوب في مراحل عده وهي (التعريف ، التشخيص، التقدير، التنبؤ) حيث اصبح من الطرق الاكثر انتشارا في تحليل السلسله الزمنيه والاكثر استعمالا من قبل الباحثين لما يمتلكه من مميزات عديده تؤدي في النهايه الى الحصول على نموذج تنبؤ موثقا به، وان هذا الطريقة تبدا بنموذج تجريبي يتم تحديده استنادا الى كل من دالة الارتباط الذاتي (ACF) ودالة الارتباط الذاتي الجزئي (PACF) حيث يتم تقدير معلم النموذج بالاعتماد على قيم السلسله التي تجعل متوسط الخطأ العشوائي اقل ما يمكن وفي هذه الطريقة تستخدم عدد من المؤشرات التي تمكن الباحث من الحكم فيما اذا كان النموذج ملائم او لا، فاذا كان ملائما يستخدم النموذج مباشرة في التنبؤ اما اذا لم يكن ملائما فانها توفر معلومات للباحث حول كيفية الحصول على نموذج ملائم، وان المنهجية في هذه الطريقة تستند الى الآتي:

أ. نموذج الانحدار الذاتي [6] : Autoregressive model (AR)

يمكن تعريفه بأنه نموذج يعبر عن السلسله الزمنيه بدلالة القيم السابقة والحاليه للسلسله والاخطاء الحاليه، او هو القيمة الحاليه للسلسله في نموذج الانحدار الذاتي بدلالة المجموع الموزون للقيم السابقة للسلسله الزمنيه مضافا اليه الخطأ العشوائي ويرمز له هذا النموذج بالرمز AR(p) حيث ان P تمثل رتبه الانموذج وان الصيغه العامه للنموذج من الرتبه P

$$Y_t = \sum_{j=1}^p \phi_j Y_{t-j} + a_t \quad (4)$$

$\phi_0, \phi_1, \dots, \phi_p$... تمثل معلمات نموذج الانحدار الذاتي، Y_t : قيمه الظاهره قيد الدراسة
at ~ $NID(0, \sigma^2)$: الخطأ العشوائي ويتوزع

ب. نموذج الاوساط المتحركه [7] : Moving average model (MA)

يعرف بأنه الانموذج الذي يتم التعبير فيه عن القيمة الحاليه للسلسله الزمنيه Y_t بدلالة الأخطاء الحاليه والسابقه ويرمز له بالرمز MR(q)، حيث ان (q) تمثل درجه الانموذج والصيغه العامه لهذا النموذج هي:

$$Y_t = a_t - \theta_1 a_{t-1} - \theta_2 a_{t-2} - \dots - \theta_q a_{t-q} \quad (5)$$

$\theta_1, \theta_2, \dots, \theta_q$... تمثل معلمات نموذج المتوسطات المتحركة ، at-q, ..., at-1, at : تمثل حد الخطأ العشوائي

ج. الانموذج المختلط [3] : Moving Average – Auto Regressive Model

ان هذا الانموذج يجمع بين نموذج الانحدار الذاتي (AR(p)) وأنموذج المتوسطات المتحركه (MA(q)) من اجل الحصول على نموذج يتمتع بمرone اكثرا لتمثيل بيانات السلسله الزمنيه والصيغه العامه لهذا الانموذج يمكن كتابتها بالشكل التالي:

$$Y_t = \phi_0 + \phi_1 Y_{t-1} + \phi_2 Y_{t-2} + \dots + \phi_p Y_{t-p} + a_t - \theta_1 a_{t-1} - \dots - \theta_q a_{t-q} \quad (6)$$

$\phi_0, \phi_1, \dots, \phi_p$: تمثل الحد الثابت ، $\theta_1, \theta_2, \dots, \theta_q$: تمثل معلمات الانحدار الذاتي
 Y_t : قيمه الظاهره قيد الدراسة

د. الانموذج المختلط المتكامل [3] : (ARIMA)

هناك بعض النماذج السلسله الزمنيه غير مستقرة لكنها تصبح مستقرة بعد الكثير من التحويلات او الفروق لذلك فالأنموذج الذي يعبر عن هذه العمليه سنلاحظ انه قد اختلف عن النموذج الاصلوي اذ يجب ان يتضمن تلك التحويلات او الفروق التي تم اجرائها على الانموذج، ان هذه النماذج المستقرة تدعى بالنماذج المختلطه المتكامله، وتعد نماذج (ARIMA) اكثرا نماذج السلسله الزمنيه استخداما اذ يمكن اشتقاق جميع النماذج منها (الانحدار الذاتي، الاوساط المتحركة، الانموذج المختلط) ان هذه النماذج هي اجزاء من نموذج (ARIMA) حيث يمثل الجزء الاول منها نموذج الانحدار الذاتي (AR(p)) الذي يستخدم في التنبؤ اما الجزء

الآخر منها يمثل الاوساط المتحركة (MA_q) ويمثل الجزء الثالث هو الفرق في السلسلة الزمنية الذي تتطلب لكي تصبح مستقرة في سلوكها، والصيغة العامة لهذا الانموذج (ARIMA_{p,d,q}) هي:

$$Y_t = \theta_0 + \theta_1 Y_{t-1} + \cdots + \theta_p Y_{t-p} + \cdots d Y_{t-p-d} + a_t - \theta_1 a_{t-1} - \theta_q a_{t-q} \quad (7)$$

θ_0 : تمثل الحد الثابت ، $\theta_1, \theta_2, \dots, \theta_p$: تمثل معلمات الانحدار الذاتي
 $\theta_1, \theta_2, \dots, \theta_q$: تمثل معلمات الاوساط المتحركة ، Y_t : قيمة الظاهرة قيد الدراسة

4. بيانات البحث [10]

تم الحصول على البيانات الخاصة باعداد المراجعين الذين يعانون من امراض الكلى و اعداد المرضى الذين يراجعون ردهات الكلية الصناعية من وزارة الصحة / دائرة صحة ديرالى / قسم التخطيط / شعبة الاحصاء وحسب الاشهر للفترة من كانون الثاني لسنة 2018 الى غايه شهر تموز 2022 و بواقع 55 مشاهده كما موضح في الجداول (1) (2) على التوالي:

جدول (1): بيانات امراض الكلى

كانون الثاني	يناير	شباط	اذار	نيسان	مايو	حزيران	تموز	آب	ايلول	تشرين الاول	تشرين الثاني	كانون الاول
2022	2021	2020	2019	2018								
1598	2364	2079	912	935								
1847	2042	2292	1302	1093								
2277	2186	1893	1523	1379								
1980	2096	2274	1849	1066								
2575	1852	1747	1509	1072								
2843	2635	1952	2012	950								
2453	2085	1526	2355	1309								
	2541	1953	2381	1185								
	2416	2124	2422	1042								
	2154	1779	2386	904								
	2348	1744	2494	706								
	2088	1388	2465	1132								

جدول (2): بيانات الكلية الصناعية

كانون الثاني	يناير	شباط	اذار	نيسان	مايو	حزيران	تموز	آب	ايلول	تشرين الاول	تشرين الثاني	كانون الاول
2022	2021	2020	2019	2018								
30	12	23	20	12								
30	28	16	22	11								
21	29	16	18	17								
22	23	20	25	20								
27	18	24	16	21								
32	30	10	16	24								
28	20	16	12	12								
	22	24	17	11								
	17	22	25	16								
	10	20	16	11								
	22	23	31	16								
	24	20	20	21								

1) تحليلاً للاتجاه العام لسلسله امراض الكلى

تم تحليلاً للبيانات السلاسل الزمنية باستعمال نماذج الاتجاه العام الخطى والتربيعى والاسيمى وكذلك نماذج بوكس جنكينز لبيانات السلسله وعلاقتها بالزمن كمتغير مستقل حيث يتم التعبير عن عدد المصايبين وكذلك:

أ. الاتجاه العام الخطى لسلسله امراض الكلى

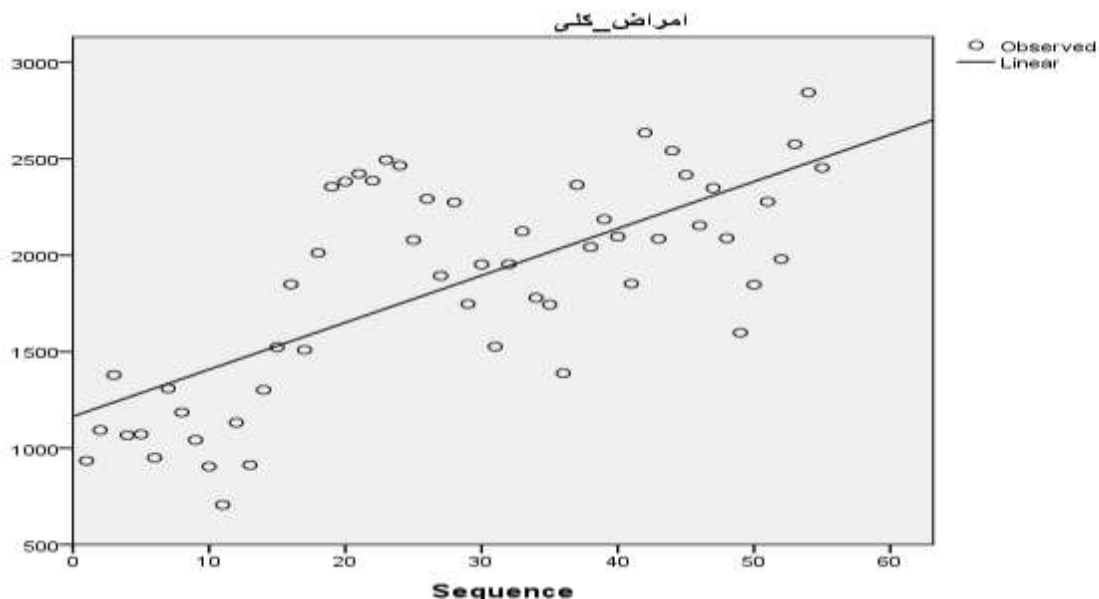
من خلال تطبيق مجموع اعداد المصايبين بامراض الكلى كمتغير تابع y_t والزمن t كمتغير مستقل يؤثر في اعداد المصايبين حيث تم تقدير الانموذج بالاعتماد على طريقه المربعات الصغرى واستخراج معلمات الانموذج و الاختبارات الاحصائية للمعلمات.

$$y_t = 1164.014 + 24.346 t$$

وان قيمة معامل الارتباط R قد ظهرت تساوي 0.706 بين اعداد المرض والزمن كمتغير مستقل وهي علاقه طردية قوله اي ان اعداد المرض في زياذه مع مرور الزمن في حين ظهرت قيمة معامل التحديد R² تساوى 0.498 وهذا يعني ان متغير الزمن يفسر ما نسبته 49% من التغيرات الحاصله في اعداد المصايبين بامراض الكلى كما ان معنويه اختبار (F=52.610) قد ظهرت تساوى 0.000 وهي اقل من 0.05 وهذا يعني ان الانموذج المقدر مقبول من الناحيه الاحصائيه ويمكن الاعتماد على نتائجه في التنبؤ باعداد المصايبين بامراض الكلى ، كما ان معلمه متغير الزمن موجبه وتساوي 24.346 وهذا يعني انه بممرور الوقت سوف يزداد عدد المصايبين بمقدار متساوي لمعلمه الانموذج لكل وحدة واحدة (شهر واحد)

جدول (3): تحليل التباين لسلسله امراض الكلى باستخدام النموذج الخطى

	S.S	Df	M.S.S	F	p-value
Regression	8215373.645	1	8215373.645	52.610	0.000
Residual	8276321.700	53	156157.013		
Total	16491695.35	54			

**شكل (1): انتشار قيم امراض الكلى وخط الاتجاه العام**

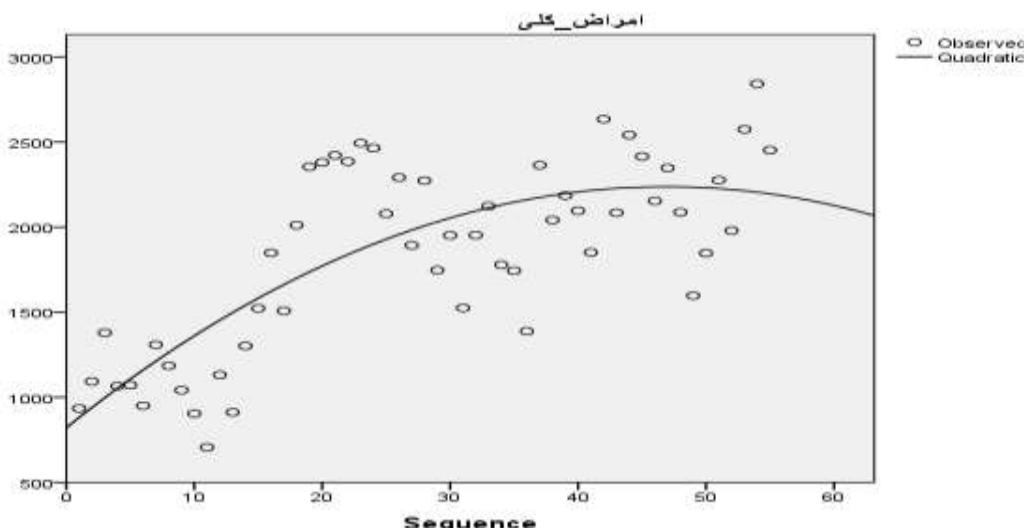
ب. الاتجاه العام التربيعي لسلسله امراض الكلى

تم وصف العلاقة بين المتغير المعتمد للمصابين بامراض الكلى والمتغير المستقل الزمن باستخدام نموذج من الدرجة الثانية (الانموذج التربيعي) كالتالي:

$$y_t = 821.370 + 60.414 t - 0.644 t^2$$

جدول (4): تحليل التباين لسلسله امراض الكلى باستخدام النموذج التربيعي

	S.S	Df	M.S	F	p-value
Regression	9373315.169	2	4686657.584	34.236	0.000
Residual	7118380.177	52	136891.926		
Total	16491695.35	54			

**شكل (2): انتشار قيم امراض الكلى ومنحنى الاتجاه التربيعي**

وان قيمة معامل الارتباط قد ظهرت 0.754 بين المتغير التابع امراض الكلى والمتغير المستقل الزمن وهي علاقه طردية قويه اي انه بمرور الوقت سوف يزداد عدد المصابين بامراض الكلى وان قيمة معامل التحديد قد ظهرت R2 تساوي 0.568 وهذا يعني ان متغير الزمن قد فسر مانسبته 56 من التغيرات الحاصلة في زيادة عدد المصابين بامراض الكلى، وان قيمة اختبار F التي

تساوي 34.236 وبمستوى معنويه 0.000 وهذا يدل على ان النموذج معنوي ومقبول احصائيا ويمكن الاعتماد على نتائجه للتنبؤ باعداد المصابين بامراض الكلى، وان الزيادة في متغير الزمن بمقدار وحدة (شهر واحد) تؤدي الى زيادة عدد مرضى الكلى بمقدار يساوي معلمه النموذج المقدرة اي زيادة بمقدار (60.414) لكل شهر اما المتغير الآخر الذي يمثل مربع الزمن فان تأثيره عكسي لان اشارته سالبه حيث بلغت (-0.644) لكن تأثيره بسيط لانخفاض قيمة المعلم المقدر وبشكل عام يعتبر الانموذج التربيعي افضل من الانموذج الخطى العام.

ج. الاتجاه العام الاسى لسلسله امراض الكلى

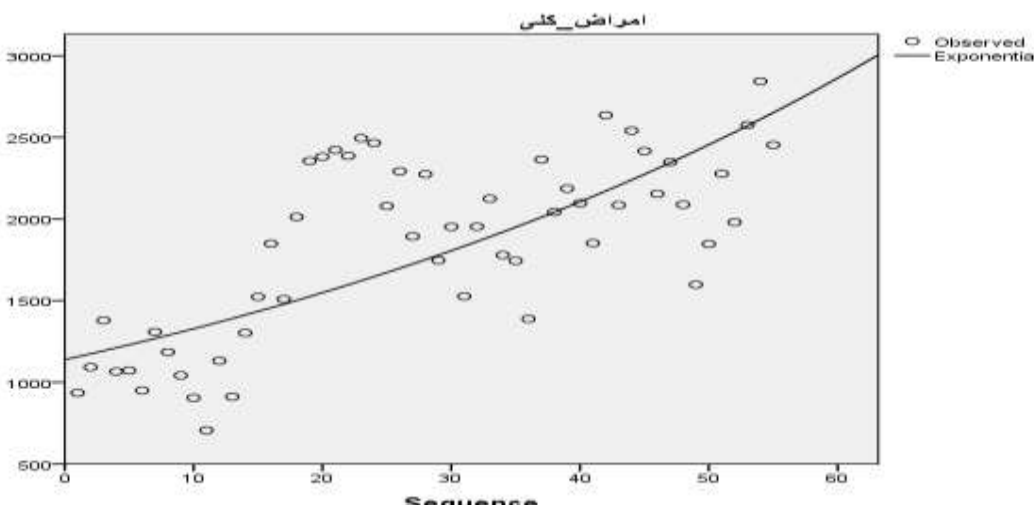
ان المعادلات الاسيه تستخدم في قياس الاتجاهات التي تكون فيها نسب التغير السنوي ثابتة، ويتطبيق اعداد مرضى الكلى بوصفها متغير تابع والزمن متغير مستقل نحصل على انموذج الاتجاه العام الاسى كما في الشكل التالي:

$$y_t = 7.038(0.15)^t$$

حيث بلغت قيمة معامل الارتباط 0.715 بين متغير اعداد مرضى الكلى والمتغير المستقل وهو الزمن وهي علاقه طردية قوية في حين بلغت قيمة معامل التحديد R² تساوي 0.511 وهذا يعني ان المتغير المستقل الداخل في المعادله وهو الزمن يفسر ما نسبته 51% من اعداد مرضى الكلى ، وقيمه اختبار F تساوي 55.440 وبمستوى معنويه 0.000 وهي اقل من 0.05 اي ان الانموذج مقبول من الناحيه الاحصائيه ويمكن الاعتماد عليه في التنبؤ باعداد المصابين بامراض الكلى .

جدول (5): تحليل التباين لسلسله امراض الكلى باستخدام النموذج الاسى

	S.S	Df	M.S	F	p-value
Regression	3.270	1	3.270	55.440	0.000
Residual	3.126	53	0.059		
Total	6.396	54			



شكل (3): انتشار قيم امراض الكلى ومنحنى الاتجاه الاسى

(2) بوكس جنكينز لسلسله امراض الكلى

تم تطبيق منهجية بوكس جنكينز على بيانات اعداد مرضى الكلى حيث تم بحث استقرارية السلسلة وتحديد رتبة الإنموذج وتقدير معلمات الإنموذج واختبار معنوياتها وكذلك اختبار معنوية الإنموذج وذلك باستعمال البرنامج الجاهز (Gretl 1.9.11) ثم مقارنته مع بقية النماذج من حيث الافضليه لكي نستخدم الإنموذج الأفضل للتنبؤ.

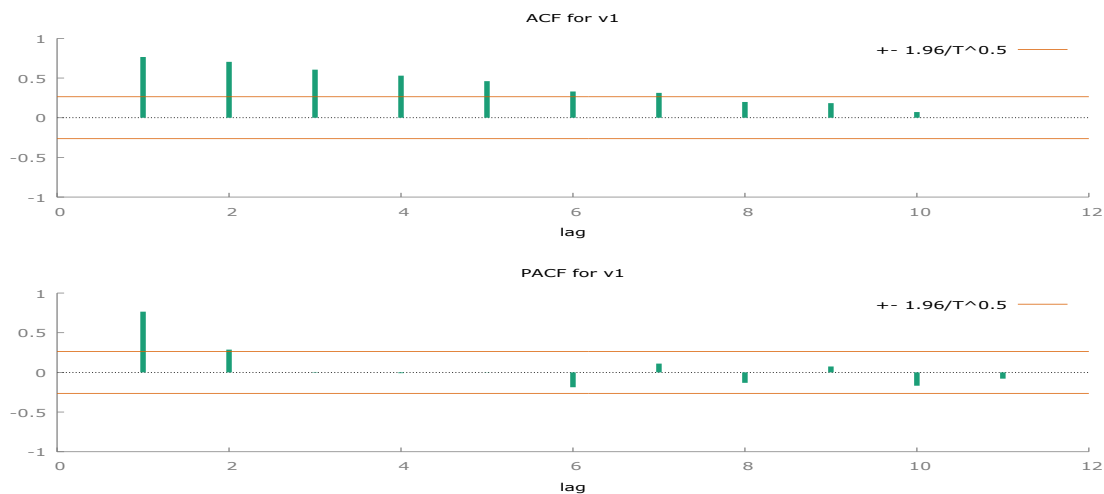
أ. استقرارية السلسلة الزمنية لمرضى الكلى

بعد جمع البيانات الخاصة باعداد المرضى المراجعين الذين يعانون من امراض الكلى نقوم بتمثيل البيانات بشكل بياني لمعرفة فيما اذا كانت هذه البيانات تمثل سلسلة زمنية ام لا وهل هذه السلسلة مستقرة او غير مستقرة .



شكل (4): رسم سلسله قيم امراض الكلى

من خلال الرسم البياني نلاحظ بيانات المرضى المرجعين تأخذ شكل سلسلة زمنية مت坦مية مع الزمن مما يدل في شكلها الظاهري انها غير مستقرة حول المتوسط وانها تعبر عن الاتجاه العام في سلوكها المت坦مي ولمزيد من الدقة نقوم بتمثيل دالة الارتباط الذاتي (ACF) ودالة الارتباط الذاتي الجزئي (PACF) كما في الرسم البياني (5)



شكل (5): رسم داله الارتباط الذاتي (ACF) والارتباط الذاتي الجزئي (PACF) لسلسله امراض الكلى

من خلال الرسم البياني اعلاه نلاحظ ان الكثير من معاملات دالة الارتباط الذاتي ACF خارج حدود فترة الثقة وان هذه المعاملات قد بدأت تتناقص تدريجيا وكذلك اثنان من معاملات دالة الارتباط الذاتي الجزئي تقع ايضا خارج فترة الثقة بمستوى (0.05).

جدول (6): قيم داله الارتباط الذاتي (ACF) والارتباط الذاتي الجزئي (PACF) لسلسله امراض الكلى

LAG	ACF	PACF
1	0.7650	0.7650
2	0.7043	0.2869
3	0.6056	0.0050
4	0.5298	-0.0097
5	0.4610	-0.0023
6	0.3307	-0.1869
7	0.3133	0.1107
8	0.1984	-0.1317
9	0.1839	0.0746
10	0.0715	-0.1679
11	0.0003	-0.0788

نختبر جذر الوحدة للسلسلة الزمنية باستخدام معيار دكي فولر الموسع والذي يعتبر افضل معيار للتأكد من استقرارية السلسلة الزمنية والجدول ادناه يوضح قيم اختبار دكي فولر.

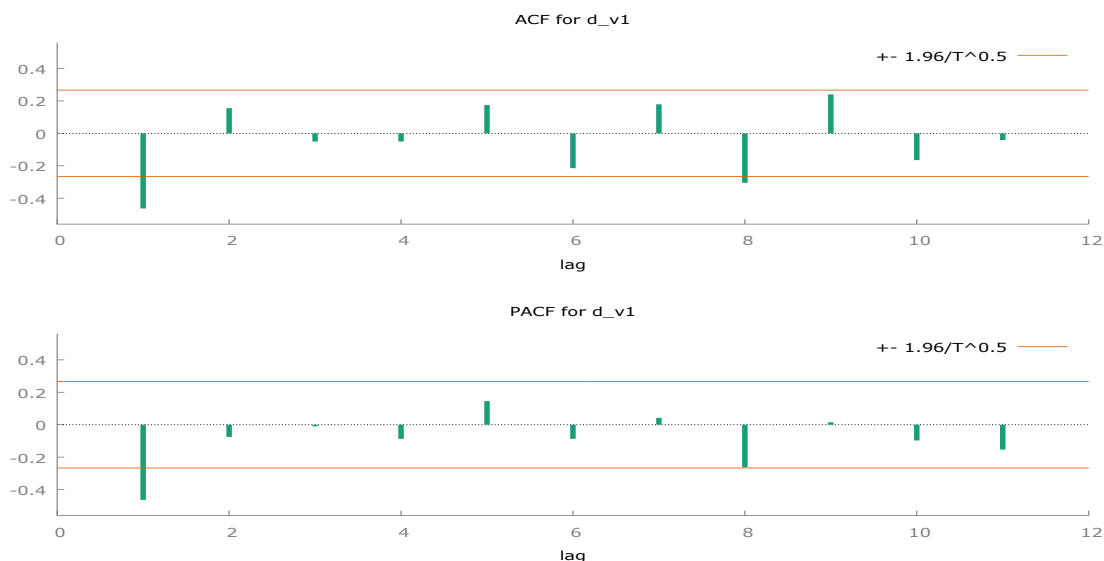
جدول (7): اختبار دكي فولر الموسع لسلسله امراض الكلى

Augmented Dickey-Fuller test	estimated value	test statistic	p-value
test without constant	0.0121283	0.527035	0.8298
test with constant	-0.133233	-1.58345	0.4911
with constant and trend	-0.262716	-2.20048	0.4888

من خلال اختبار دكي فولر نلاحظ بان قيمة p-value لجميع الاختبارات ظهرت اكبر من $p < 0.05$ مما يدل على قبول فرضية عدم التنصيص على عدم استقرارية السلسلة الزمنية. ولنخلص من مشكلة عدم استقرارية السلسلة الزمنية نأخذ الفرق الاول للسلسلة اذ نلاحظ ان السلسلة تخلصت من اثر الاتجاه العام في سلوكها واصبحت مستقرة حول المتوسط بعد اخذ الفرق الاول كما مبين في الشكل (6):



شكل (6): رسم سلسله امراض الكلى بعد اخذ الفرق الاول
وبتمثيل دالة الارتباط الذاتي ACF والارتباط الذاتي الجزئي PACF بيانيا كما موضح في الشكل (7):



شكل (7): يبين رسم دالتي (ACF) و (PACF) لسلسله امراض الكلى بعد اخذ الفرق الاول
نلاحظ ان السلسلة الزمنية لااعداد المرضى اصبحت مستقرة بعد اخذ الفرق الاول والجدول (8) يوضح قيم دالة الارتباط الذاتي ودالة الارتباط الذاتي الجزئي بعد اخذ الفرق .

جدول (8): يبين قيم دالتي (ACF) و (PACF) لسلسله امراض الكلى بعد اخذ الفرق الاول

LAG	ACF	PACF
1	-0.4633	-0.4633
2	0.1556	-0.0752
3	-0.0505	-0.0100
4	-0.0503	-0.0867
5	0.1744	0.1458

6	-0.2145	-0.0869
7	0.1791	0.0422
8	-0.3053	-0.2625
9	0.2403	0.0151
10	-0.1650	-0.0969
11	-0.0414	-0.1529

ولمزيد من الدقة نختبر جزر الوحدة باستخدام معيار دكي فولر الموسع بعد اخذ الفرق الاول لاعداد المرضى المراجعين.

جدول (9): اختبار دكي فولر الموسع لسلسله امراض الكلى بعد اخذ الفرق الاول

Augmented Dickey-Fuller test	estimated value	test statistic	p-value
test without constant	-1.46342	-11.761	3.35e-024
test with constant	-1.47619	-11.7962	4.824e-025
with constant and trend	-1.47606	-11.6794	5.823e-027

من خلال جدول (9) اختبار دكي فولر الموسع اعلاه نلاحظ ان قيمة p-vale لجميع الاختبارات اقل من 0.05 مما يقودنا الى رفض الفرضية الصفرية التي تنص ان السلسلة الزمنية لاعداد مرضى الكلى غير مستقرة وقبول الفرضية البديلة وهي ان السلسلة الزمنية لاعداد مرضى الكلى مستقرة.

ب- تحديد رتبة الانموذج لسلسله امراض الكلى

لتحديد رتبة افضل نموذج مقترن بعد ان تم اخذ الفرق الاول لسلسلة اعداد امراض الكلى والسلسلة اصبحت مستقرة حول المتوسط تقوم باختبار مجموعة من نماذج اريما المقترنة واختيار افضل انموذج بواسطة معايير Hannan-Akaike (Schwarz,Quin

جدول (10): نماذج ARIMA المقترنة لسلسله امراض الكلى

معنوية الانموذج	SBC	H_Q	AIC	Model	I.D
غير معنوي	783.7463	780.0806	777.7793	(1,1,0)	1
غير معنوي	787.4224	782.5347	779.4664	(1,1,1)	2
غير معنوي	791.4047	785.2952	781.4598	(2,1,1)	3
غير معنوي	795.3849	788.0535	783.4510	(3,1,1)	4
غير معنوي	787.4026	782.5149	779.4466	(0,1,2)	5
غير معنوي	789.8890	783.7794	779.9440	(1,1,2)	6
غير معنوي	793.6092	786.2778	781.6753	(2,1,2)	7
غير معنوي	798.0467	789.4933	784.1238	(3,1,2)	8
غير معنوي	791.3718	785.2622	781.4268	(0,1,3)	9
غير معنوي	793.7741	786.4427	781.8402	(1,1,3)	10
غير معنوي	795.3113	786.7579	781.3884	(2,1,3)	11
معنوي	793.9838	784.2085	778.0719	(3,1,3)	12
غير معنوي	784.8142	781.1484	778.8472	(1,1,0)	13
غير معنوي	787.5112	782.6236	779.5553	(2,1,0)	14
غير معنوي	791.4464	785.3369	781.5015	(3,1,0)	15

من خلال الجدول (10) لنماذج اريما المقترنة نلاحظ ظهر انموذج معنوي واحد باستخدام منهجية بوكس جينكينز هو الانموذج (3,1,3) وهو افضل انموذج.

ج- تقدير معلمات النموذج واختبارها لسلسله امراض الكلى

بعد ان تم تحديد افضل انموذج معنوي وهو الانموذج (3,1,3) تم تقدير معلمات هذا الانموذج واختبار معنويته وكالاتي:

جدول (11): معلمات الانموذج الشخص مع اختبارات معنوياتها لسلسله امراض الكلى

	Coefficient	std. Error	Z	p-value
Const	25.3512	7.36006	3.444	0.0006
phi_1	-1.08762	0.0642502	-16.93	2.81e-064
phi_2	0.346199	0.115168	3.006	0.0026
phi_3	0.736686	0.0631459	11.67	1.89e-031
theta_1	0.836544	0.117372	7.127	1.02e-012
theta_2	-0.836577	0.109325	-7.652	1.98e-014
theta_3	-0.999959	0.121123	-8.256	1.51e-016

$$\hat{Y}_t = 25.3512 - 1.08762Y_{t-1} + 0.346199Y_{t-2} + 0.736686Y_{t-3} + 0.836544a_{t-1} \\ - 0.836577a_{t-2} - 0.999959a_{t-3}$$

د- اختبار ملائمة النموذج لسلسلة امراض الكلى

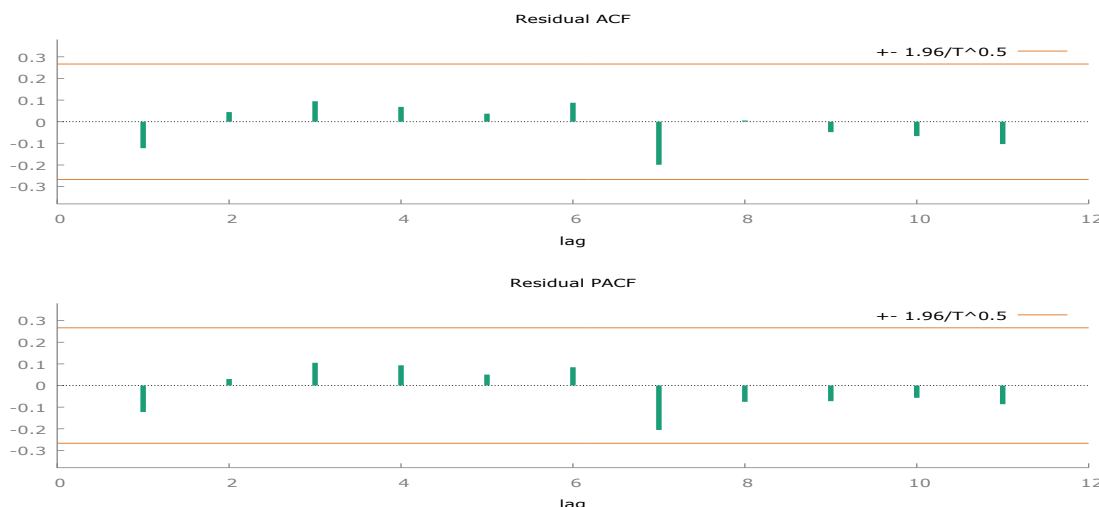
بعد تحديد افضل انموذج وتقدير معالماته نقوم بالتحقق من صحة ملائمة الانموذج المقترن وكفائه وذلك من خلال اختبار لجونغ - بوكس وكذلك اختبار البوافي:

1- اختبار لجونغ - بوكس Ljung-Box test

عند تطبيق اختبار Ljung-Box ظهرت قيمة ($Q=6.65557$) ونلاحظ ان قيمة P-value لاختبار كاي سكوير ظهرت تساوى (0.3539) وهي اكبر من (0.05) وهذا يؤدى الى قبول فرضية العدم ومنها نستدل ان النموذج ملائم وكفء للتنبؤ.

2- اختبار البوافي Residual test

من خلال رسم دالة الارتباط الذاتي والارتباط الذاتي الجزئي للاخطاء (البوافي Residual) لافضل نموذج مقترن (3,1,3) نلاحظ ان كل قيم معاملات دالة الارتباط الذاتي والارتباط الذاتي الجزئي للاخطاء (البوافي Residual) تقع ضمن فترة الثقة مما يدل على ان سلسلة البوافي عشوائية وان الانموذج جيد وملائم كما في المخطط ادناه :



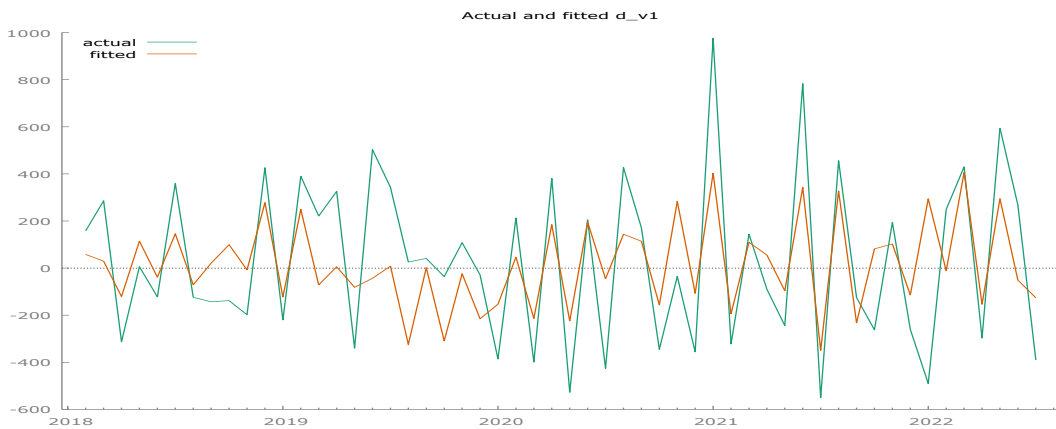
شكل (8): يوضح (ACF) و (PACF) لسلسلة البوافي الخاصة بأمراض الكلى

ومن الجدول (12) ان قيم دالة الارتباط الذاتي والارتباط الذاتي الجزئي للبوافي هي قيم عشوائية تقع ضمن فترة الثقة.

جدول (12): قيم الارتباط الذاتي (ACF) والارتباط الذاتي الجزئي (PACF) للبوافي لسلسلة امراض الكلى

Lag	ACF	PACF
1	-0.1224	-0.1224
2	0.0445	0.0300
3	0.0944	0.1050
4	0.0685	0.0935
5	0.0371	0.0505
6	0.0875	0.0844
7	-0.1989	-0.2055
8	0.0055	-0.0754
9	-0.0482	-0.0722
10	-0.0665	-0.0568
11	-0.1035	-0.0863

من خلال رسم سلسلة القيم الحقيقة وسلسلة القيم التنبؤية والمقارنة بينهما نلاحظ ان سلسلة القيم التنبؤية قد ظهرت متناسبة مع سلسلة القيم الحقيقة كما في الشكل (9) مما يدل على ان النموذج يصلح للتنبؤ.



شكل (9): رسم سلسله القيم الحقيقية والتنبؤيه لامراض الكلى

1- المقارنة بين نماذج السلاسل الزمنية لسلسله امراض الكلى

للتعرف على الانموذج الافضل في استخراج القيمه التنبؤية لا عدد مرضى الكلى نجد متوسط مطلق الخطأ النسبي لكل نموذج من النماذج الاربعة كما في الجدول (13) التالي:

جدول (13): مقارنه بين نماذج السلاسل الزمنية باستخدام (MAPE) لسلسله امراض الكلى

الانموذج	متوسط الخطأ النسبي المطلق (MAPE)
الاتجاه العام الخطي	19
الاتجاه العام التربيعي	18
الاتجاه العام الاسي	19
اريما	13.62

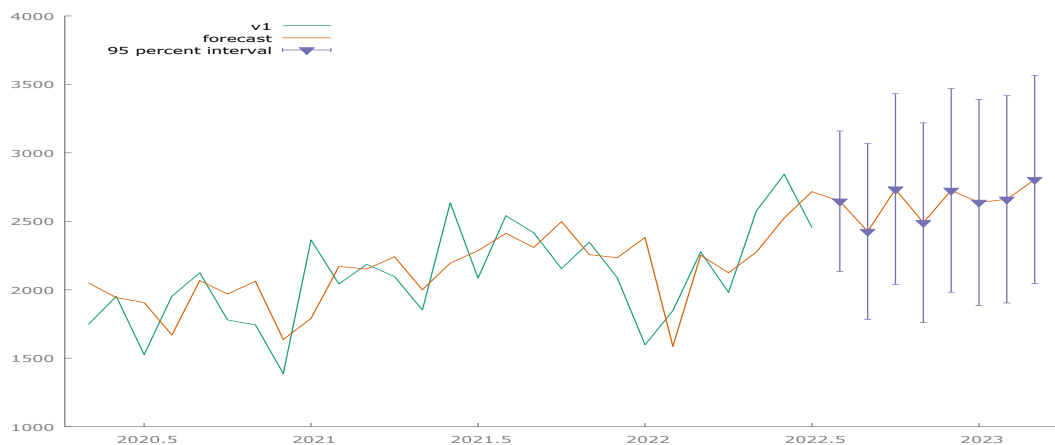
من خلال الجدول اعلاه يظهر لنا ان نموذج اريما يتملك اقل قيمه (MAPE) وبالتالي يعتبر هو الافضل للتنبؤ.

2- التنبؤ باعداد مرضى الكلى

الجدول (14) ادناه يمثل القيم التنبؤية لسلسله امراض الكلى باستخدام نماذج ARIMA لمدة ثمانية اشهر .

جدول (14): القيم التنبؤية لمده ثمانية اشهر لسلسله امراض الكلى باستخدام بوكس جنكينز

الزمن	الحد الادنى	القيمة التنبؤية	الحد الاعلى
2022:08	2133.04	2646.39	3159.74
2022:09	1784.31	2425.67	3067.02
2022:10	2037.55	2734.56	3431.57
2022:11	1760.87	2490.13	3219.38
2022:12	1982.35	2725.78	3469.21
2023:01	1885.12	2637.88	3390.65
2023:02	1903.52	2660.46	3417.41
2023:03	2045.16	2804.55	3563.94



شكل (10) رسم القيم التنبؤية لسلسله امراض الكلى وفق انموذج ARIMA(3,1,1)

3- تحليل الاتجاه العام لسلسلة الكلية الصناعية (الفشل الكلوي)

تم تحليل بيانات السلسلة الزمنية التي تمثل اعداد المصابين بمرض الفشل الكلوي في محافظة ديرالي وكالاتي:
أ- الاتجاه العام الخطى لسلسلة الكلية الصناعية

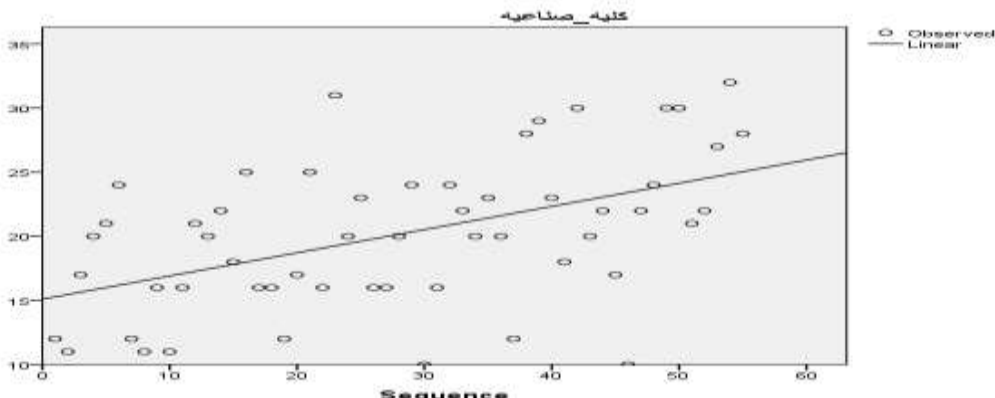
بافتراض ان اعداد المصابين بمرض الفشل الكلوي هو متغير معتمد y_t وان الزمن t هو متغير مستقل يؤثر في اعداد مرضى الفشل الكلوي حيث تم تغيير النموذج الاتجاه العام اعتمادا على طريقه المربعات الصغرى.

$$y_t = 15.101 + 0.181 t$$

بلغت قيمه معامل الارتباط 0.50 وهذا يدل على وجود علاقه طردية موجبه بين متغير الكلية الصناعيه كمتغير تابع والزمن كمتغير مستقل، كما ان قيمه معامل التحديد R^2 تساوي 0.25 وهذا يدل على ان المتغير المستقل يفسر ما نسبته 25% من التغير الحالى في اعداد مرضى الكلية الصناعية (الفشل الكلوي)، وان النموذج مقبول احصائيا حسب اختبار F الذي يساوى 17.222 وبمستوى معنويه 0.000 وهو اقل من 0.05 والذي يدل على ان النموذج معنوي ويمكن الاعتماد عليه للتنبؤ باعداد مرضى الكلية الصناعية، كما ان زياده متغير الزمن بمقدار وحدة واحده يؤدي الى حدوث زيادة في اجمالي اعداد الكلية الصناعيه بمقدار يساوي 181.

جدول (15): تحليل التباين لسلسلة الكلية الصناعية باستخدام النموذج الخطى

	S.S	df	M.S.S	F	p-value
Regression	453.105	1	453.105	17.222	0.000
Residual	1394.422	53	26.310		
Total	1847.527	54			



شكل (11): يوضح انتشار قيم الكلية الصناعية وخط الاتجاه العام الخطى

ب- الدالة التربيعية لسلسلة الكلية الصناعية

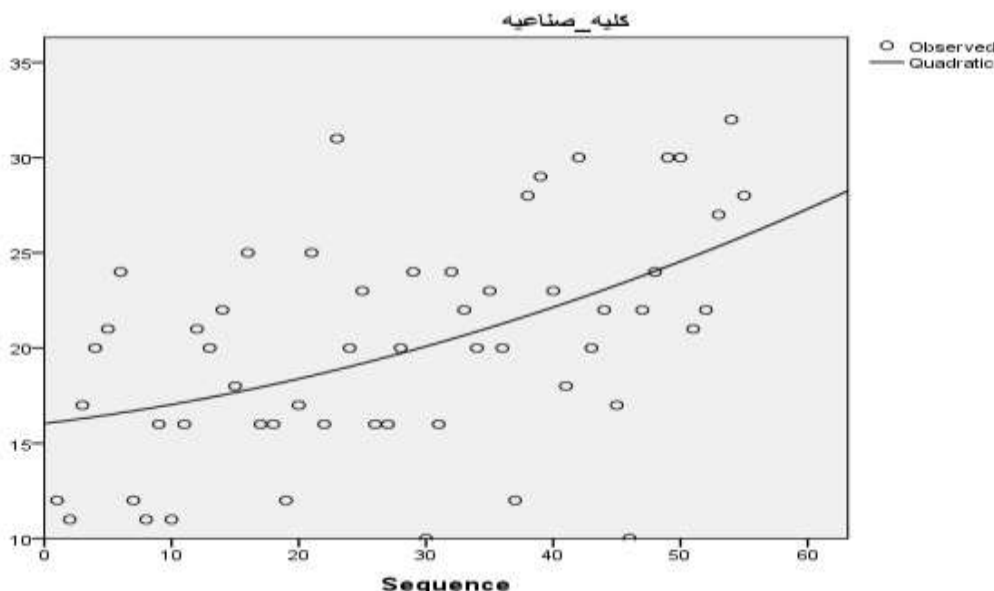
تم بناء الانموذج التربيعي الذي يصف العلاقة بين المتغير التابع الكلية الصناعية والمتغير المستقل الزمن كما في المعادله الآتية :

$$y_t = 16.037 + 0.082 t + 0.002 t^2$$

وان قيمه معامل الارتباط قد بلغت 0.5 بين المتغير التابع الكلية الصناعية والمتغير المستقل الزمن وهي علاقه طردية ، كما ان قيمه معامل التحديد قد بلغت 0.25 وهذا يدل على ان المتغير المستقل الزمن قد فسر ما نسبته 25% من التغيرات التي تحصل في متغير الكلية الصناعية، وان قيمه اختبار F قد ظهرت تساوي 8.663 وبمستوى معنويه 0.001 وهي اقل من 0.05 وهذا يدل على ان النموذج معنوي و مقبول احصائيا ويصلح للتنبؤ باعداد الكلية الصناعيه.

جدول (16): تحليل التباين لسلسلة الكلية الصناعية باستخدام الدالة التربيعية

	S.S	Df	M.S.S	F	p-value
Regression	461.749	2	230.874	8.663	0.001
Residual	1385.779	52	26.650		
Total	1847.527	54			



شكل (12): انتشار قيم الكلية الصناعية ومنحنى الدالة التربيعيه

ـ الدالة الاسيه لسلسله الكلية الصناعية

بتطبيق اعداد الكلية الصناعية (الفشل الكلي) بوصفها متغير تابع والزمن متغير مستقل نحصل على انموذج الاتجاه العام

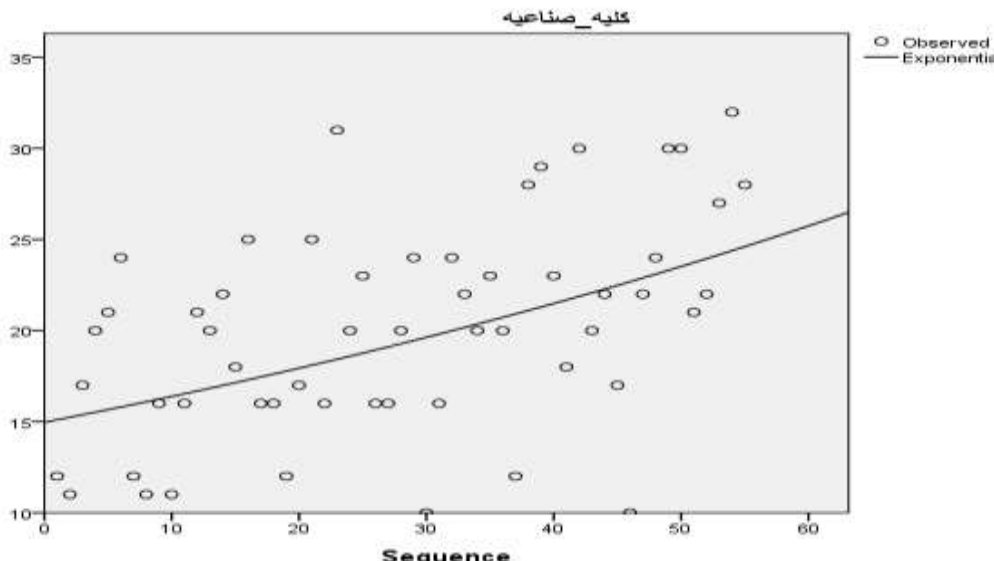
الاسي كما في الشكل التالي:

$$y_t = 14.968(0.009)^t$$

حيث ان قيمة معامل الارتباط 0.47 بين متغير الكلية الصناعية والمتغير المستقل وهو الزمن وهي علاقه طردية في حين بلغت قيمة معامل التحديد R^2 تساوي 0.22 وهذا يعني ان المتغير المستقل الداخل في المعادله وهو الزمن يفسر ما نسبته 22% من اعداد الكلية الصناعية، وقيمه اختبار F تساوي 14.731 وبمستوى معنويه 0.000 وهي اقل من 0.05 اي ان الانموذج مقبول من الناحيه الاحصائيه ويمكن الاعتماد عليه في التنبؤ باعداد الكلية الصناعية.

جدول (17): تحليل التباين لسلسله الكلية الصناعية باستخدام الدالة الاسيه

	S.S	Df	M.S.S	F	p-value
Regression	1.132	1	1.132	14.731	0.000
Residual	4.074	53	0.077		
Total	5.207	54			



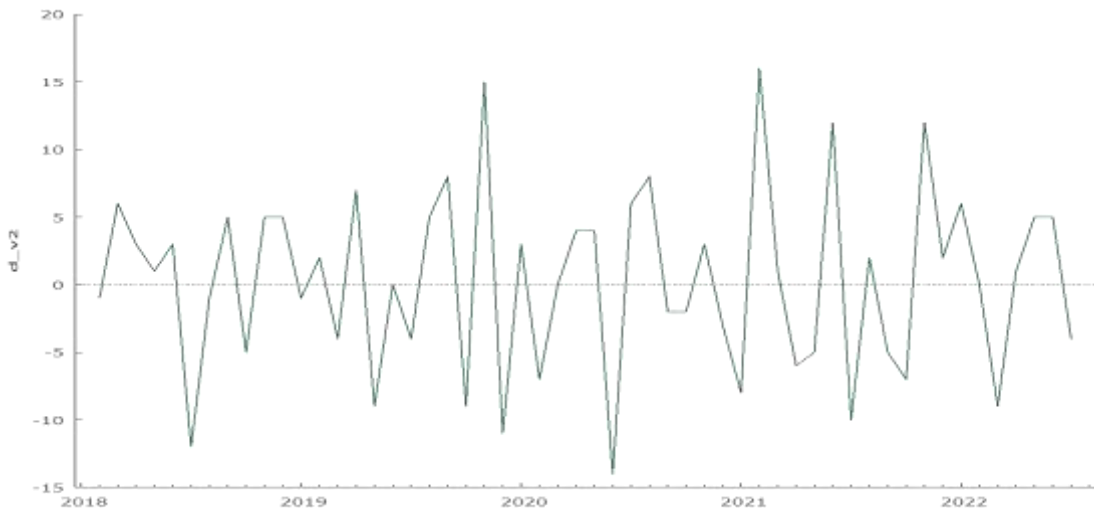
شكل (13): انتشار قيم الكلية الصناعية ومنحنى الدالة الاسيه

ـ بوكس جينكينز لسلسله الكلية الصناعية

تم تطبيق منهجهية بوكس جنكينز على بيانات اعداد مرضى الكلية الصناعية (الفشل الكلوي) وكالاتي:

أ. استقرارية السلسلة للكليه الصناعيه

بخصوص سلسلة الكلية الصناعية نأخذ الفرق الاول للسلسلة الزمنية الخاصة بعد مراجعى وحدة الكلية الصناعية لجعلها مستقرة حول المتوسط كما في الشكل (14) أدناه:

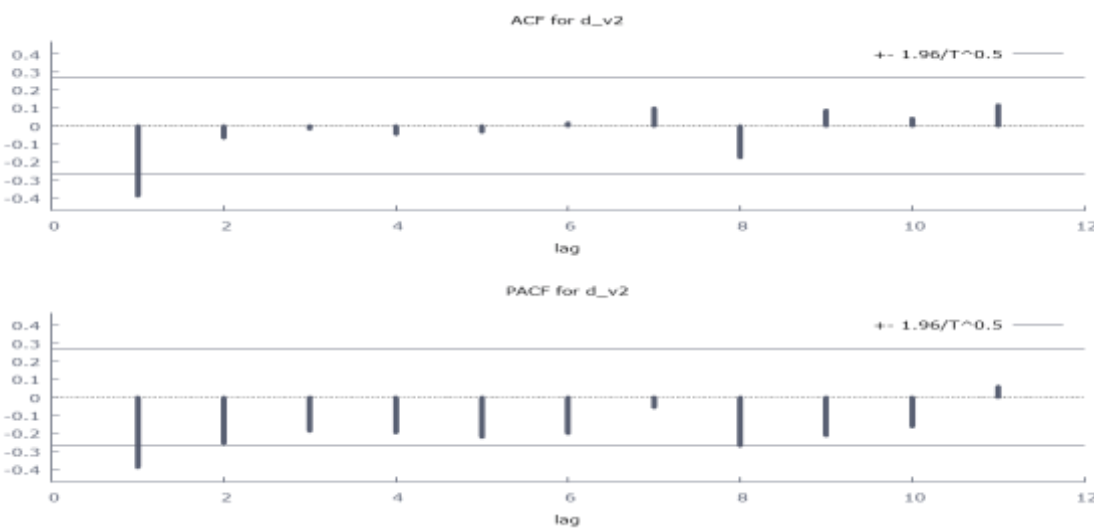


شكل (14): رسم سلسله قيم الكليه الصناعيه بعد اخذ الفرق الاول

من ثم نقوم بتمثيل دالة الارتباط الذاتي والارتباط الذي الجزئي ببيانا للتأكد من ان سلسلة مراجعى وحدة الكلية الصناعية مستقرة كما في الشكل (15) ونختبر جذور الوحدة للسلسلة الزمنية باستخدام اختبار دكي فولر الموسع كما في الجدول (19) للمزيد من الدقة.

جدول (18): يبين قيم (ACF) و (PACF) لسلسله الكليه الصناعيه بعد اخذ الفرق الاول

LAG	ACF	PACF
1	-0.3886	-0.3886
2	-0.0664	-0.2561
3	-0.0164	-0.1870
4	-0.0459	-0.1965
5	-0.0335	-0.2206
6	0.0161	-0.1999
7	0.0987	-0.0557
8	-0.1757	-0.2693
9	0.0863	-0.2118
10	0.0420	-0.1627
11	0.1161	0.0601



شكل (15): رسم دالتي (ACF) و (PACF) لسلسله الكليه الصناعيه بعد اخذ الفرق الاول

جدول (19): اختبار دكي فولر الموسوع لسلسله الكليه الصناعيه بعد اخذ الفرق الاول

Augmented Dickey-Fuller test	estimated value	test statistic	p-value
test without constant	-2.07075	-6.19655	1.605e-009
test with constant	-8.89934	-4.52974	0.000169
with constant and trend	-8.90091	-4.46363	0.001674

يبين جدول معنوية جذور الوحدة باستخدام معيار دكي فولر (19) انها اصبحت اقل من 0.05 ($p\text{-value} < 0.05$) ومنها نستنتج ان سلسلة مراجعى وحدة الكلية الصناعية اصبحت مستقرة حول المتوسط وتخلصت من اثر الاتجاه العام في سلوكها المتاثمى مع الزمن.

ب. تحديد رتبه الانموذج لسلسله الكليه الصناعيه

بعد ان اصبحت سلسلة مراجعى وحدة الكلية الصناعية مستقرة يتم تحليل بيانات السلسلة واختبار نماذج اريما المفترحة الحصول على افضل انموذج معنوي من بين مجموعة النماذج وكما في الجدول (20).

جدول (20): نماذج ARIMA المعنويه لسلسله الكليه الصناعيه

الملاحظات	SBC	H-Q	AIC	Model	I.D
معنوي	350.5573	343.2258	338.6234	(1,1,3)	1
معنوي	349.2403	341.9089	337.3064	(2,1,2)	2
معنوي	352.1492	343.5958	338.2263	(2,1,3)	3

ومن خلال جدول نماذج ARIMA المعنوية الشكل (20) نلاحظ ان افضل انموذج معنوي هو (2,1,2) حيث تكون قيمته اقل في الاختبارات الثلاثة مقارنة مع باقي قيم النماذج المعنوية الاخرى

ج. تقدير معالم الانموذج لسلسله الكليه الصناعيه

بعد ان تم تحديد افضل انموذج معنوي وهو (2,1,2) نقوم بتقدير معالم النموذج واختبار معنويتها باستخدام برنامج .gretl

جدول (21): معالم الانموذج الشخص مع اختبارات معنوياتها لسلسله الكليه الصناعيه

	Coefficient	std. error	Z	p-value
Const	0.150167	0.0123407	12.17	4.58e-034
phi_1	0.953333	0.134520	7.087	1.37e-012
phi_2	-0.312232	0.135468	-2.305	0.0212
theta_1	-1.99648	0.0101147	-197.4	0.0000
theta_2	0.999994	0.0100750	99.26	0.0000

من خلال الجدول اعلاه نلاحظ ان قيم p-value لمعلمة الحد الثابت ظهرت معنوية بمستوى الدلالة (4.58e-034) ومعامل نموذج الانحدار(2)AR قد ظهرت جميعها معنوية اقل من مستوى الدلالة (0.05) وكذلك معالم الاوساط المتحركة (2)MA(2) ايضا معنوية وتساوي (0.0000) وهي اقل من مستوى الدلالة (0.05) لافضل انموذج مقترن (2,1,2) وبذلك نستنتج ان النموذج معنوي وقبول ويمكن التعبير عنه كما في المعادلة التالية:

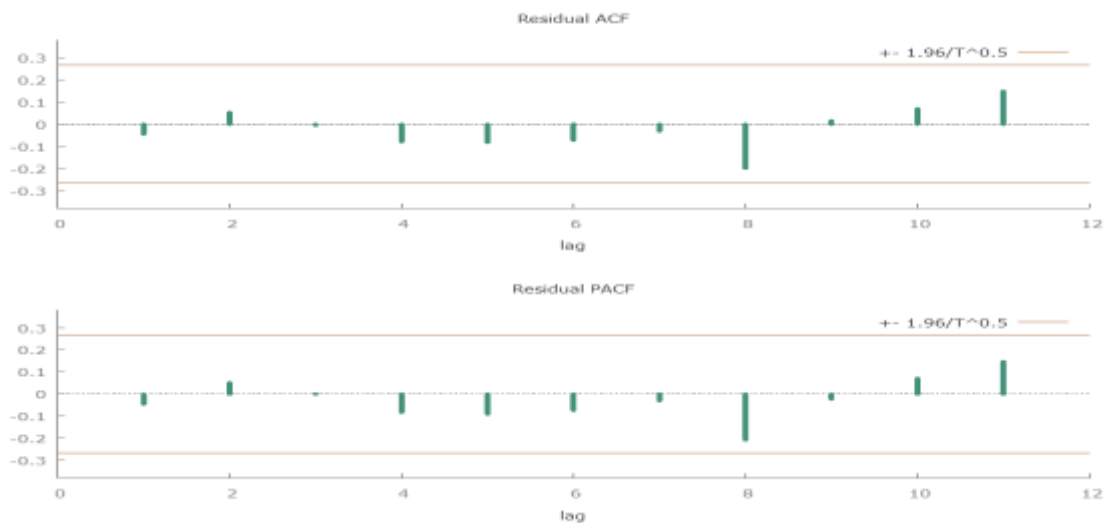
$$\hat{Y}_t = 0.150167 + 0.953333y_{t-1} - 0.312232y_{t-2} - 1.99648a_{t-1} + 0.999994a_{t-2}$$

د. اختبار ملائمه الانموذج لسلسله الكليه الصناعيه**أ. اختبار Ljung-Box**

من خلال اختبار Ljung-Box ظهرت قيمة (Q=5.9923) وان قيمة P-value (0.6481) هي اكبر من 0.05 مما يعني قبول الفرضية الصفرية والتي تعبر عن استقرارية النموذج وهي تدل على ان الانموذج ملائم وكفؤ للتنبؤ.

ب. اختبار الباقي Residual test

من خلال رسم دالة الارتباط الذاتي ACF والارتباط الذاتي الجزئي PACF للباقي لافضل انموذج معنوي نلاحظ ان كل قيم معاملات ذاتي ACF وPACF تقع ضمن فترة الثقة مما يدل على ان سلسلة الباقي عشوائية والنماذج جيد وملائم.

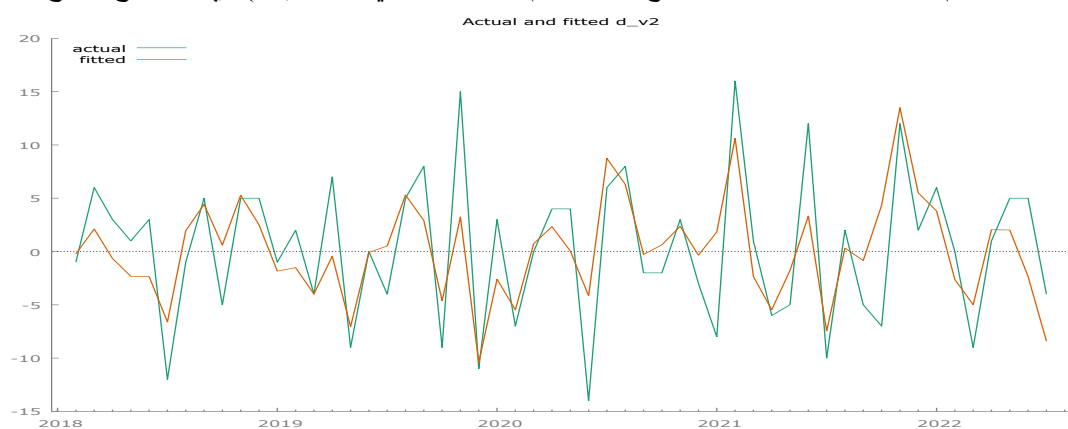


شكل (16): يوضح دالتي (ACF) و (PACF) لسلسلة الباقي الخاص بالكلية الصناعية
نلاحظ من الجدول (22) ان قيم دالة الارتباط الذاتي والارتباط الذاتي الجزئي للباقي هي قيم عشوائية تقع ضمن فترة الثقة

جدول (22): قيم دالتي (ACF) و (PACF) لسلسلة الباقي الخاص بالكلية الصناعية

LAG	ACF	PACF
1	-0.0450	-0.0450
2	0.0531	0.0512
3	-0.0042	0.0004
4	-0.0790	-0.0823
5	-0.0823	-0.0900
6	-0.0724	-0.0730
7	-0.0304	-0.0297
8	-0.1990	-0.2070
9	0.0157	-0.0220
10	0.0700	0.0708
11	0.1494	0.1464

ان سلسلة القيم التنبؤية قد ظهرت متناسبة مع سلسلة القيم الحقيقية كما في الشكل (17) اي الانموذج يصلح للتنبؤ.



شكل (17): رسم سلسلة القيم الحقيقية و التنبؤية لسلسلة الكلية الصناعية

1- المقارنة بين نماذج السلسلات الصناعية
من خلال الجدول (23) اعلاه يظهر لنا ان انموذج Arima يتملك اقل قيمة (MAPE) وبالتالي يعتبر هو الافضل للتنبؤ.

جدول (23): مقارنه بين نماذج السلسله الزمنيه باستخدام (MAPE) لسلسله الكليه الصناعيه

الانموذج	متوسط مطلق الخطأ النسبي(MAPE)
الاتجاه العام الخطوي	23.629
الاتجاه العام التربيعي	23.577
الاتجاه العام الاسي	22.836
اريما	21.601

2- التنبؤ لسلسلة الكلية الصناعية

الجدول ادناه يمثل القيم التنبؤية لسلسله الكليه الصناعيه باستخدام نماذج ARIMA لمدة ثمانية اشهر

جدول (24): القيم التنبؤية لمده ثمانية اشهر لسلسله الكليه الصناعيه باستخدام نماذج بوكس جينكينز

الزمن	الحد الادنى	القيمة التنبؤية	الحد الاعلى
2022:08	12.38	21.23	30.08
2022:09	11.62	20.48	29.34
2022:10	12.55	21.94	31.32
2022:11	13.82	23.61	33.41
2022:12	14.87	24.81	34.74
2023:01	15.52	25.48	35.44
2023:02	15.84	25.80	35.76
2023:03	15.99	25.95	35.91



شكل (18): رسم القيم التنبؤية لسلسله الكلية الصناعية وفق انموذج ARIMA (2,1,2)

5- الاستنتاجات

لقد توصل الباحث الى مجموعة من الاستنتاجات عن طريق التحليل الاحصائي اهمها هي:

1. من خلال المقارنه بين اساليب التنبؤ في السلسله الزمنيه (نماذج الاتجاه العام الخطوي والانموذج التربيعي والانموذج الاسي ونماذج بوكس جينكينز) لسلسله امراض الكلى وكذلك لسلسله الكليه الصناعيه (الفشل الكلوي) وجد ان افضل اسلوب هو نماذج بوكس جينكينز حيث اعطى اقل قيمة لمتوسط الخطأ المطلق النسبي MAPE بلغت قيمته في سلسله امراض الكلى ($MAPE=21.601$) وفي سلسله الكليه الصناعيه ($MAPE=13.62$)
2. ان سلسلتي اعداد مرضى الكلى والكليه الصناعيه في محافظة ديالى غير مستقرتين للمدة من (كانون الثاني 2018 و الى تموز 2022) وفقا للرسم البياني في الشكلين (4) و (14) لكلا السلسلتين وكذلك قيم معاملات ذاتي الارتباط الذاتي والذاتي الجزئي وقيم اختبار دكي فولر الموسوع، لكن تم معالجه حاله عدم الاستقراريه حول المتوسط من خلال اخذ الفرق الاول لكلا السلسلتين واصبحت مستقرة
3. في سلسله امراض الكلى ظهر تاثير متغير مربع الزمن في الانموذج التربيعي تأثير عكسي على اعداد مرضى الكلى حيث بلغت المعلمه المقדרه تساوي (0.644) لكن تاثيرها طفيف لانخفاض قيمة المعلمه المقدرة .

4. الانموذج المناسب لسلسله امراض الكلى هو ARIMA(3,1,3) حيث يمكن الاعتماد عليه في اجراء التنبؤ بأعداد مرضى الكلى في محافظة ديالى وقد اعطى تنبؤات قريبة من القيم الفعلية لسلسله امراض الكلى
5. الانموذج المناسب لسلسله الكلية الصناعية هو ARIMA(2,1,2) وظهر الانموذج المقترن يمتلك اقل قيمة اختبار (SBC,H-Q,AIC) بين النماذج المعنوية الثلاثة لذا يمكن الاعتماد عليه في اجراء التنبؤ بأعداد سلسلة الكلية الصناعية حيث اعطي تنبؤات قريبة.
6. ان النماذج التي تم التوصل اليها يمكن الاعتماد عليها ويوصي الباحث باستعمال انموذج الكلية الصناعية ARIMA (2,1,2) لدراسات مستقبلية وكذلك بالنسبة الى انموذج امراض الكلى ARIMA (3,1,3).

المصادر

- [1] ابو صالح، محمد صبحي (2000). الطرق الإحصائية، دار البيازوري العلمية، للنشر والتوزيع، ط.1.
- [2] الطائي، عابدة أحمد دخيل، "استخدام نموذج بوكس-جنكينز لتقدير الطلب على المواد المخزنية في الشركة العامة لتوزيع كهرباء بغداد"، مجلة كلية الرافدين الجامعة للعلوم، العدد السادس، 2001م
- [3] العاني، احمد حسين بتال (2005) "استخدام نماذج ARIMA في التنبؤ الاقتصادي"، مجلة جامعة الانبار للبحوث الإنسانية والاقتصادية، العدد السادس.
- [4] عباس، محمد فاضل (2021) "التنبؤ بكميات الامطار في محافظة نينوى باستعمال السلسلة الزمنية الموسمية للفترة 2012-2020 ، بحث دبلوم عالي جامعة بغداد كلية الادارة والاقتصاد
- [5] عبد ربه، ابراهيم علي ابراهيم (2008)، الاحصاء الوصفي والتحليلي، دار المطبوعات الجامعية، الاسكندرية.
- [6] العوادي، حيدر عبدالله جاسم (2015) "استعمال بعض طرق السلسلة الزمنية للتنبؤ بالولادات في العراق"، بحث دبلوم عالي، كلية الادارة والاقتصاد، جامعة بغداد.
- [7] محمد، سعدون محسن (1981) "نماذج الانحدار الذاتي والمت渥سطات المتحركة غير المستقرة (ARIMA) مع تطبيق عملي للتنبؤ بدرجات الحرارة لمدينة بغداد"، رسالة ماجستير في الاحصاء، كلية الادارة والاقتصاد، جامعة بغداد.
- [8] النعيمي، محمد، و طعمة، حسن، (2008)، الاحصاء التطبيقي، دار وائل للنشر والتوزيع، ط1
- [9] الهيتي، صلاح الدين حسين (2006)، الاساليب الإحصائية في العلوم الإدارية - تطبيقات باستخدام SPSS، دار وائل للنشر والتوزيع، ط.2.
- [10] وزارة الصحة والبيئة، دائرة صحة ديالى، قسم التخطيط، شعبة الاحصاء الصحي والحياتي



AL- Rafidain
University College

PISSN: (1681-6870); EISSN: (2790-2293)

Journal of AL-Rafidain University College for Sciences

Available online at: <https://www.jrucs.iq>

JRUCS

Journal of AL-Rafidain
University College
for Sciences

Using Time Series Models to Predict the Number of Kidney Patients in Diyala Governorate

Baydaa I. Abdulwahhab

baidaa_29@codec.uobaghdad.edu.iq

Department of Statistics, College of
Administration and Economics, University of
Baghdad, Baghdad, Iraq

Eyas M. Akram

Diyala Health Department, Baghdad, Iraq

Article Information

Article History:

Received: February, 23, 2024

Accepted: April, 12, 2024

Available Online: December, 31,
2024

Keywords:

Time series, ARIMA model, kidney diseases, autocorrelation, Box-Jenkins models, forecasting .

Abstract

The increase in the number of patients around the world and what this phenomenon causes in terms of human and material losses and the subsequent social and psychological effects that include all segments of society is the main motive and the main goal that directed us for the purpose of conducting this research for this phenomenon and making predictions about it, and the issue of time series is one of the important topics that It deals with the behavior of phenomena and their interpretation over certain time periods, and the importance of time series analysis lies in obtaining an accurate description of the series and defining an appropriate model for prediction and using the results for future planning purposes. In Diyala Governorate for the coming periods so that those in charge can identify the expected numbers in the future to take the necessary precautions to confront this phenomenon and develop ways to address it. On the practical side, the methods mentioned in the theoretical side were applied to a sample of people with kidney disease in the first series, as well as a sample of the artificial kidney (people with kidney failure) for the second series, with a volume of (55) for the period from December 2018 to July 2022, and they are not They are stable according to the values of the autocorrelation coefficients, and both series have a general trend. The first difference was taken in both cases to make them stable and obtain predictions close to the true values. The time square variable in the quadratic model of the series of kidney diseases had an inverse effect because its sign was negative, as the estimated parameter reached (0.644).) but its effect is slight due to the decrease in the value of the estimated parameter, and that the ARIMA (3·1·3) model is the only significant and best for a series of kidney diseases that can be relied upon in making predictions of the number of kidney patients, and the same is the case, the best model for the industrial kidney series is the ARIMA model (2·1·2) among the rest of the other intangible models can be relied upon in making predictions about the numbers of the Industrial kidney in Diyala Governorate

Correspondence:

Baydaa I. Abdulwahhab
bsidaa_29@coadec.uobaghdad.edu.iq

DOI: <https://doi.org/10.55562/jrucs.v56i1.17>